

干细胞原位培植四维抗衰老美容整形的临床应用研究(一)

——不同年龄组面部软组织厚度变化

陈忠存 杨加峰 顾永进 常晓静 陈惠惠 陈倩倩

【摘要】 目的:分析研究面部软组织厚度随年龄变化的关系。方法:选择经过体脂含量计算正常者 140 人,按不同年龄段分布测量发际、眉间、鼻根、鼻背、上唇根部、人中、颏唇沟、颏隆凸、颏下、眉中央、眶下缘中点、下颌下缘(咬肌前)、颧弓上缘、下颌升支(咬肌中)、下颌角共 15 个点,并记录制备图表与曲线。结果:体脂正常者不同年龄组面部软组织厚度不同,而且面部软组织不同部位的厚度随年龄变化的程度也不同。结论:衰老在面部的表现不仅仅是组织的松垂及皮肤皱纹的增多,还包括面部各部位组织厚度的改变。

【关键词】 年龄 软组织厚度 面部

【中图分类号】Q253 ;R622 **【文献标识码】**A **【文章编号】**1001-0726(2002)03-0137-05

The Application of in situ Epidermal Regenerative Stem Cell Culture in Four - dimension Anti - senescence Plastic and Anesthetic Surgery (1) —— Change in the Thickness of the Face Soft Tissue of Different Ages Chen Zhong - cun Yang Jia - feng , Gu Yong - jin , et al . , Dept of Plastic Surgery and Burns , The 2nd Hospital of Shandong University Jinan , Shandong Province 250033

【Abstract】Objective : To measure the soft tissue thickness of face and to find out the relationship between the changes in soft tissue thickness and the age of the person. **Method :** 140 persons with normal body fat content were selected to enter this experiment. The soft tissue thickness at 15 points of the body including frontoparietal , glabella , nasion , dorsum of nose , root of upper lip , philtrum , mentolabial , pogonion , submentum , middle of infraorbitalis , the lower border of the mandible , the upper border of zygomatic arch , the anterior portion of mandibular ramus , and angle of mandible were measured. The values were recorded according to different ages and curves were plotted. **Results :** The thickness of different parts of soft tissues in the face was different at different ages , and the changes in the thickness of different parts of soft tissues were also different with different ages. **Conclusion :** The senescence on the face is not only manifested by tissue relaxation and wrinkles but also by tissue thickness change in different parts.

【key words】 Age ; Soft tissue thickness ; Face

【CLC number】Q253 ;R622 **【Document code】**A **【Article ID】**1001-0726(2002)03-0137-05

衰老及老龄化已成为当今社会普遍关注的问题,随着生活水平的提高,人们对衰老整形术的要求越来越高。因而,我们设计并提出了“干细胞原位培植四维抗衰老美容整形手术”,即将干细胞原位培植皮肤再生技术应用于皮肤衰老整形中,同时在衰老组织的三维改变中,加上时间因素(所需年轻的时间以及相应年轻时组织结构的协调性恢复)。根据研究对象的具体特点及要求,临床上给予最大满足。

一、研究对象和方法

(一)研究对象:

1. 测量组:选择经过体脂含量计算正常的 140 人,其中男性 40 例,女性 100 例。用同一方法按不同年龄组分布测量各年龄段的面部软组织厚度^[1]。

2. 临床治疗组:共计 168 例,其中男性 24 例,女性 144 例。最小年龄 23 岁,最大年龄 81 岁。

(二)研究方法:

1. 对测量组分别按男性 25 岁 ~ 34 岁, 35 岁 ~ 44 岁, 45 岁 ~ 59 岁, 大于 60 岁各 10 例; 女性 17 岁 ~ 24 岁, 25 岁 ~ 34 岁, 35 岁 ~ 44 岁, 45 岁 ~ 59 岁, 大于 60 岁各 20 例分年龄段。对各年龄段均采取同样的方法测量发际、眉间、鼻根、鼻背、上唇根部、人中、颏唇沟、颏隆凸、颏下、眉中央、眶下缘中点、下颌

下缘(咬肌前)、颧弓上缘、下颌升支(咬肌中)、下颌角共计 15 个点的软组织厚度, 并分别记录, 进行统计学处理, 求出各年龄阶段面部软组织厚度的均数及标准差, 列表(见表 1、表 2)。

2. 根据表 1、表 2 分别绘出“面部软组织不同部位的厚度随年龄变化曲线”(图 1、图 2)。

表 1 面部软组织厚度测量 40 例 男(mm)

年龄段	25 ~ 34	35 ~ 44	45 ~ 59	≥60
部 位				
发际	2.54 ± 0.09	3.19 ± 0.08	2.87 ± 0.06	2.48 ± 0.13
眉间	4.77 ± 0.10	4.54 ± 0.07	4.39 ± 0.14	2.67 ± 0.12
鼻根	3.87 ± 0.12	4.11 ± 0.10	3.51 ± 0.06	3.29 ± 0.14
鼻背	2.42 ± 0.08	2.30 ± 0.14	2.27 ± 0.10	2.07 ± 0.06
上唇根部	11.47 ± 0.13	10.38 ± 0.12	10.33 ± 0.08	7.67 ± 0.13
人中	10.34 ± 0.08	9.61 ± 0.16	9.78 ± 0.11	7.70 ± 0.18
颏唇沟	10.68 ± 0.17	10.25 ± 0.07	10.65 ± 0.11	8.13 ± 0.09
颏隆凸	10.62 ± 0.18	10.45 ± 0.25	10.30 ± 0.07	6.86 ± 0.10
颏下	5.80 ± 0.05	5.51 ± 0.18	5.74 ± 0.08	3.08 ± 0.09
眉中央	5.27 ± 0.05	5.28 ± 0.08	5.15 ± 0.47	3.77 ± 0.08
眶下缘中点	4.64 ± 0.13	4.49 ± 0.15	4.34 ± 0.25	3.08 ± 0.06
下颌下缘(咬肌前)	10.55 ± 0.32	10.68 ± 0.17	10.88 ± 0.06	6.74 ± 0.14
颧弓上缘	5.22 ± 0.34	5.67 ± 0.10	5.15 ± 0.14	3.89 ± 0.13
下颌升支(咬肌中)	18.54 ± 0.09	17.98 ± 0.09	17.70 ± 0.21	11.84 ± 0.32
下颌角	12.80 ± 0.18	12.66 ± 0.57	11.90 ± 0.10	6.69 ± 0.13

表 2 面部软组织厚度测量 10 例 女(mm)

年龄段	17 ~ 24	25 ~ 34	35 ~ 44	45 ~ 59	≥60
项 目					
发际	3.26 ± 0.11	2.93 ± 0.12	2.87 ± 0.12	2.76 ± 0.12	2.69 ± 0.08
眉间	4.80 ± 0.16	4.16 ± 0.04	4.78 ± 0.11	3.91 ± 0.13	4.45 ± 0.28
鼻根	4.67 ± 0.17	3.17 ± 0.06	3.81 ± 0.04	3.83 ± 0.20	4.37 ± 0.20
鼻背	2.27 ± 0.14	2.27 ± 0.07	2.33 ± 0.13	2.96 ± 0.16	3.41 ± 0.13
上唇根部	9.25 ± 0.53	9.25 ± 0.12	8.86 ± 0.12	6.50 ± 0.15	10.32 ± 0.13
人中	8.55 ± 0.32	8.84 ± 0.45	8.80 ± 0.19	6.59 ± 0.08	9.77 ± 0.09
颏唇沟	9.14 ± 0.13	9.80 ± 0.29	10.28 ± 0.14	8.75 ± 0.09	12.66 ± 0.33
颏隆凸	10.18 ± 0.14	10.61 ± 0.55	10.66 ± 0.32	8.67 ± 0.52	11.79 ± 0.34
颏下	5.54 ± 0.70	4.76 ± 0.24	6.79 ± 0.39	4.67 ± 0.18	5.65 ± 0.51
眉中央	4.76 ± 0.16	4.90 ± 0.19	5.39 ± 0.13	5.17 ± 0.49	5.48 ± 0.43
眶下缘中点	7.11 ± 0.10	6.17 ± 0.21	5.20 ± 0.34	6.27 ± 0.81	6.83 ± 0.20
下颌下缘 (咬肌前)	13.97 ± 0.64	13.50 ± 0.81	10.69 ± 0.36	11.35 ± 0.22	9.91 ± 0.27
颧弓上缘	9.02 ± 0.41	6.63 ± 0.43	7.20 ± 0.38	5.69 ± 0.37	4.81 ± 0.25
下颌升支 (咬肌中)	19.40 ± 0.49	19.69 ± 0.71	16.52 ± 0.70	14.79 ± 0.33	17.45 ± 0.57
下颌角	18.80 ± 0.70	14.82 ± 0.41	12.68 ± 0.58	10.64 ± 0.36	10.74 ± 0.19

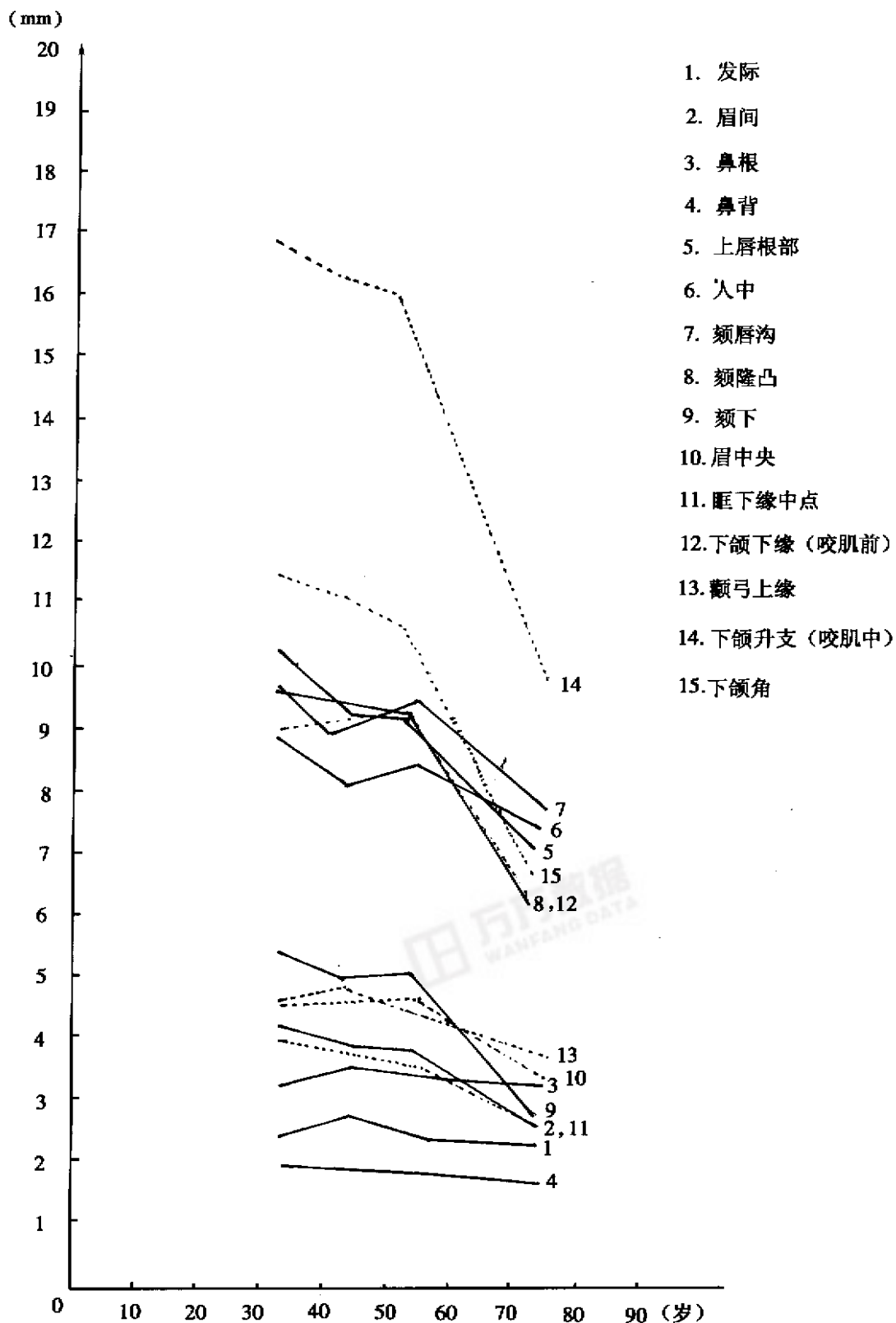


图 1 面部软组织不同部位的厚度随年龄变化曲线 (男, 实线为正位, 虚线为侧位, 临床)

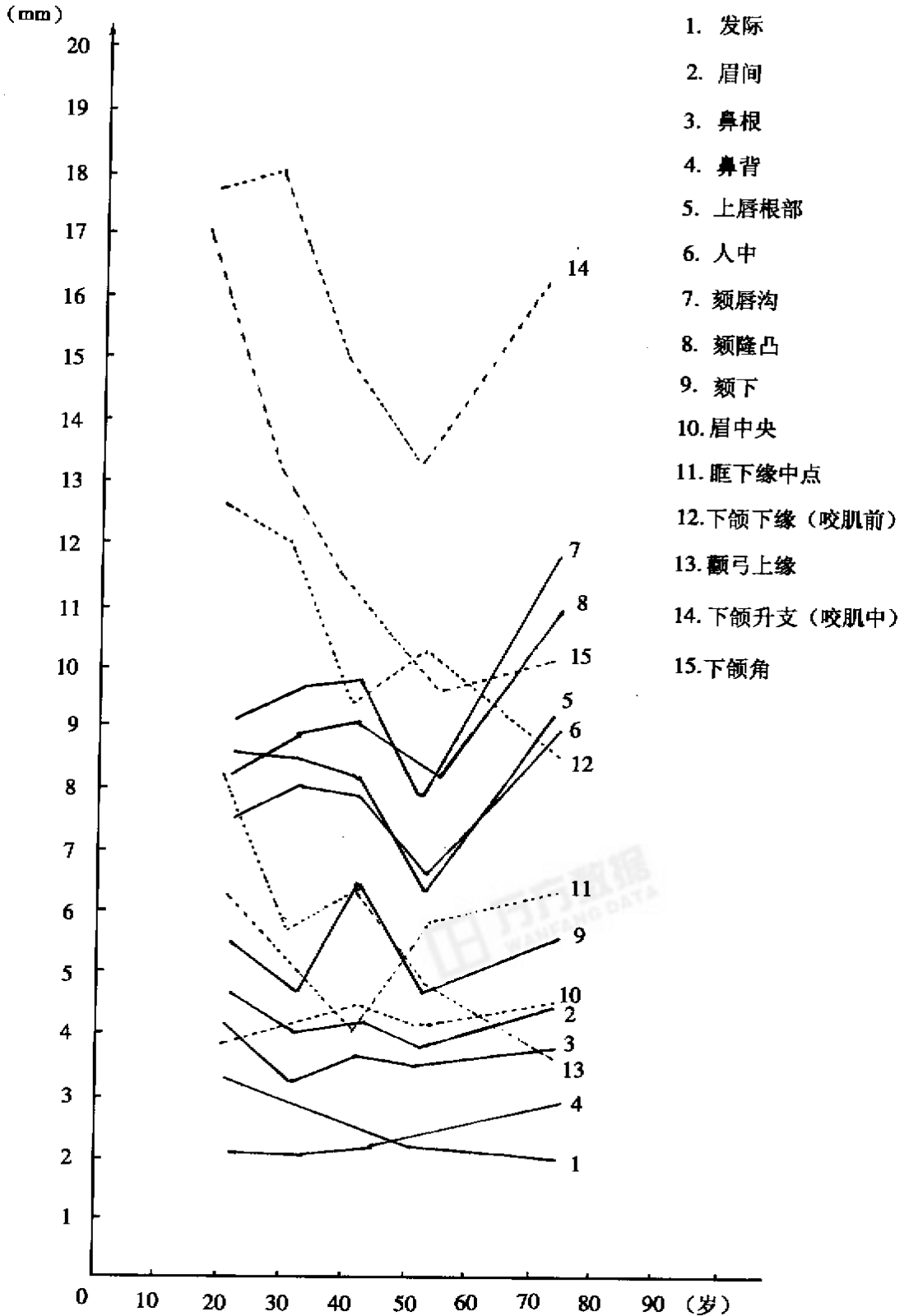


图 2 面部软组织不同部位的厚度随年龄变化曲线(女,实线为正位,虚线为侧位,临床)

二、结果与分析

1. 体脂含量正常者不同年龄组面部软组织厚度不同: 男性 25 岁 ~ 34 岁年龄段面部软组织厚度, 随年龄增加厚度逐渐变薄, 尤以面部中下部分变化明显(图 1)。女性变化则有所不同, 17 岁 ~ 24 岁除下面部正中部分相应较薄外, 其余部分均是最厚时期, 随年龄增加程度的不同, 组织厚度变化不一, 35 岁 ~ 44 岁年龄段变化不大, 45 岁 ~ 59 岁面部软组织变薄, 而 60 岁以上时面部正中、下半部变厚, 其余部分变薄(图 2)。此结果与日本小川统计的数据结果相符^[2]。

2. 体脂正常者面部软组织不同部位的厚度随年龄变化而变化的程度有所不同。男性上面部变化不大, 而下面部变化大, 随年龄增加明显变薄(图 3、图 4); 女性上面部变化不大, 而下面部变化明显, 正位至 45 岁 ~ 59 岁时突然变薄, 而 60 岁以后又突然增厚, 有时可差 5mm ~ 10mm。此结果与我国丁涛统计的数据结果相符^[3]。

3. 该测量结果对人们面部衰老软组织的整形修复提供了一定的理论基础, 在抗衰老整形手术中

具有参考价值。

4. 随着时代的变化, 人们的审美水平的提高, 手术时应将测量结果与受术者心理及美学标准等相结合, 提高手术满意率。

参 考 文 献

- [1] 唐锡麟主编. 儿童少年生长发育. 北京: 人民卫生出版社 1991, 第一版, 270 ~ 275.
- [2] 公安部人民警察干部学校主编. 法医学. 北京: 群众出版社, 1983, 第一版, 596 ~ 597.
- [3] 公安部人民警察干部学校主编. 法医学. 北京: 群众出版社, 1983, 第一版, 595.

【作者简介】

陈忠存(1964—), 男(汉族), 山东人, 同济医科大学临床医学毕业, 硕士学位, 副教授, 副主任医师, 硕士研究生导师。

杨加峰(1974—), 男(汉族), 山东人, 河北煤炭医学院临床医学毕业, 硕士学位, 医师。

顾永进(1981—), 男(汉族), 山东人, 北京医学专修学院临床医学美容系毕业, 医师。

(收稿日期 2001-10-28, 修回日期 2002-03-18)

大面积严重烧伤患者早期检测血清脂肪酸结合蛋白价值的探讨

杨文东, 魏树华, 李召芳, 刘俊建

【摘要】目的 通过检测大面积严重烧伤患者早期血清脂肪酸结合蛋白水平变化, 探讨其在大面积严重烧伤患者早期发生并发心肌损伤的临床诊治价值。方法 对 33 例大面积严重烧伤患者和 30 名健康对照组采血行 FABP 和肌酸磷酸激酶同工酶(CK-MB)定量检测, 血清 FABP 采用双抗体夹心酶联免疫一步法定量检测, CK-MB 采用免疫抑制法。结果: 大面积严重烧伤患者早期 FABP、CK-MB 水平均显著性升高($P < 0.01$); 血清 FABP 的阳性率(81.8%)显著高于血清 CK-MB 的阳性率(48.5%)。结论: 大面积严重烧伤患者早期 FABP 定量测定比 CK-MB 具有更高的敏感性。检测大面积严重烧伤患者早期血清 FABP 水平, 与其并发心肌损伤的临床诊治具有重要价值, 对判定病情及并发心肌损伤具有指导意义。

【关键词】烧伤早期; 脂肪酸结合蛋白; 肌酸磷酸激酶同工酶; 心肌损伤

【中图分类号】R644; R446.112 【文献标识码】A 【文章编号】1001-0726(2002)03-0141-03